

Кокониноит: находка на рудопроявлении Зор-Ярчи-Чак, Восточный Памир

Карпенко В.Ю.¹, Паутов Л.А.^{1,3}, Шодибеков М.²,
 Махмадшариф С.², Мираков М.А.²

¹ Минералогический музей им. А.Е. Ферсмана РАН, Москва, mineralab@mail.ru

² Институт геологии, сейсмостойкого строительства и сейсмологии АН РТ, Душанбе

³ Институт Минералогии УрО РАН, Миасс

Описана находка кокониноита $\text{Fe}_2\text{Al}_2(\text{UO}_2)_2(\text{PO}_4)_4(\text{SO}_4)(\text{OH})_2 \cdot 20\text{H}_2\text{O}$ в зоне окисления на урановом проявлении Зор-Ярчи-Чак (правый берег р. Южный Ак-Байтал, Восточный Памир, Таджикистан). Минерал встречен в трещинах существенно кварцевой породы в виде плотных глиноподобных масс желтоватого цвета (площадью до 2 см²), состоящих из пластинчатых индивидов размером 5–10 микрон в поперечнике. Показатель преломления $n_m = 1.589(3)$ при 589 нм. Приведен ИК-спектр минерала. Состав (м.з., мас.%, среднее по 24 анализам; диапазон разброса для Al и Fe; H₂O – CNH-анализ, среднее по 2 анализам, мас.%): Al₂O₃ 6.95 (5.44–7.70), Fe₂O₃ 11.13 (9.77–12.91), UO₃ 39.09, P₂O₅ 18.35, SO₃ 4.64, H₂O 22.7, сумма 102.86. Завышение суммы может быть связано с частичным обезвоживанием минерала при микрозондовом анализе. Эмпирическая формула $\text{Fe}_{2.07}\text{Al}_{2.12}\text{U}^{16}_{2.08}\text{P}_{3.93}\text{S}_{0.88}\text{O}_{24}(\text{OH})_2 \cdot 18.16\text{H}_2\text{O}$ (расчет на 24O + 2OH). Параметры элементарной ячейки: $a = 12.45(1)$, $b = 12.87(1)$, $c = 22.75(1)$, $\beta = 105.66(4)$. Анализ вариаций Al и Fe в кокониноите из разных местонахождений (вплоть до высокоалюминиевого безжелезистого аналога, м.н.е. Косчека, Узбекистан) подтверждает существование природного ряда с крайними Al- и Fe-доминантными членами.

Ключевые слова: кокониноит, фуркалит, метасоматиты, уранил-ион, Зор-Ярчи-Чак, Восточный Памир, Таджикистан.

Кокониноит $\text{Fe}_2\text{Al}_2(\text{UO}_2)_2(\text{PO}_4)_4(\text{SO}_4)(\text{OH})_2 \cdot 20\text{H}_2\text{O}$, редкий минерал, впервые был обнаружен одновременно в восьми проявлениях в США (в штатах Аризона, Юта, Вайоминг, Нью-Гэмпшир), детально же описан в трех из них. Это уран-ванадиевые месторождения в песчаниках плато Колорадо (Sun Valley mine, Huskon No. 7 mine, Coconino Co; Blackwater No. 4 Mine, Apache Co., Аризона, США; Jomac Mine, San Juan Co., Юта, США) (Young et al., 1966). Позднее под названием «кокониноит» был описан алюминиевый аналог этого минерала на урановых месторождениях Косчека и Джантуар в горах Ауминзатау, Ц. Кызылкумы, Узбекистан (Новые данные о минералах Узбекистана, 1989; Белова и др., 1993; Дойникова, Сидоренко, 2006). Имеются упоминания о находках кокониноита на проявлении Arcu su Linnarbu в Сардинии (Италия) (Lecca et al., 2011), а

также его Al-аналога на урановом месторождении La Creusaz (Швейцария) (Meisser et al., 2010), однако в обоих случаях без приведения результатов диагностики. Следует отметить еще один близкий по составу к кокониноиту минерал, синьцзянит ($\text{Fe},\text{Al})(\text{UO}_2)_4(\text{PO}_4)_2(\text{SO}_4)_2(\text{OH}) \cdot 22\text{H}_2\text{O}$, известный пока лишь на месторождении Jinyinzhai Mine (пров. Хунань, Китай) (Hunan 230 Institute... 1976).

Новым местонахождением кокониноита стало урановое рудопроявление Зор-Ярчи-Чак, расположенное в правобережье р. Южный Ак-Байтал (~ 35 км от Мургаба по автотрассе Мургаб – Ош, Мургабский район Горно-Бадахшанской АО, Таджикистан). Рудопроявление (рис. 1) локализовано среди метаморфизованных отложений протерозоя, представленных кварц-мусковитовыми, мусковит-

плагиоклаз-кварцевыми кристаллическими сланцами с прослойями песчаников, мраморов, биотитовых гнейсов. Урановое оруденение приурочено к крыльям флексураобразной складки, осложненной еще более мелкими складками, представлено уранинитом и урансодержащим торитом (Аверьянов, Рахимов, 1964) и генетически связано с широко проявленными на Зор-Ярчи-Чаке многостадийными процессами гидротермально-метасоматического преобразования пород. К одной из заключительных стадий приурочены широко распространенные полосчатые метасоматиты (рис. 2), сложенные альбитом, кварцем, магнезиальным амфиболом, турмалином шерла-дравитового ряда; из акцессорных минералов в них имеются пирит и рутил. В наиболее измененных участках распространены кварцевые обособления с лучистыми агрегатами магнезиального амфиболя, в той или иной мере замещенные агрегатами талька с флогопитом. На рудопроявлениях известны гипергенные минералы урана: шрекингерит $\text{NaCa}_3(\text{UO}_2)(\text{SO}_4)(\text{CO}_3)3\text{F} \cdot 10\text{H}_2\text{O}$, отенит $\text{Ca}(\text{UO}_2)_2(\text{PO}_4)_2 \cdot 10\text{--}12\text{H}_2\text{O}$, уранофан $\text{Ca}(\text{UO}_2)_2[\text{SiO}_3(\text{OH})]_2 \cdot 5\text{H}_2\text{O}$ (Аверьянов, Рахимов, 1964).



Рис. 1. Магистральная канава, в которой был встречен коконинонт. Проявление Зор-Ярчи-Чак, Восточный Памир.



Рис. 2. Характерный облик полосчатой гидротермально-метасоматической породы. Лейкохратовая часть представлена агрегатом кварца и кислого плагиоклаза, меланократовая – магнезиальным амфиболом. Длина образца 10 см.

При полевых работах на В. Памире в 2018 г. в отвалах одной из магистральных канав на этом рудопроявлении нами был встречен коконинонт, а

также еще один весьма редкий фосфат уранила – фуркалит $\text{Ca}_2(\text{UO}_2)_3\text{O}_2(\text{PO}_4)_2 \cdot 7\text{H}_2\text{O}$. Ниже приведено описание находки коконинонта, которая является, по всей вероятности, вторым достоверным описанием этого минерала.



Рис. 3. Глиноподобная корка коконинонта на ожелезненной поверхности существенно кварцевой породы (отвалы магистральной канавы). Размер образца 3 x 5 см.

Минерал образует плотные глиноподобные массы бледно-желтого цвета (площадью до 2 cm^2) по трещинам в породе существенно кварцевого состава (рис. 3). В коротковолновом ультрафиолетовом свете агрегаты коконинонта обладают бледно-желтой люминесценцией. При больших увеличениях видно, что плотные массы минерала состоят из агрегатов пластинчатых кристаллов размерами 5–10 микрон в поперечнике (рис. 4). Малый размер индивидов не позволил получить сколь-нибудь полные оптические характеристики минерала. Иммерсионным методом удалось измерить только $n_m = 1.589(3)$ при 589 нм, который оказался близким к опубликованным данным для этого минерала ($n_m = 1.586(5)$, Young et al., 1966).

Анализ всех компонентов, за исключением воды и углерода, был выполнен на микрозондовом анализаторе JCXA Superprobe 733 фирмы JEOL с помощью Si(Li)-детектора с ультратонким окном ATW2 и системой анализа INCA Energy 350 (условия анализа: $U = 20$ кВ; $I = 1$ нА, расфокусированный пучок). В качестве стандартов использовались: Al_2O_3 ($\text{AlK}\alpha$), AlPO_4 ($\text{PK}\alpha$), AsS ($\text{SK}\alpha$), Fe_2O_3 ($\text{FeK}\alpha$), волластонит STD ($\text{CaK}\alpha$), UO_2 ($\text{UM}\alpha$). Общее содержание воды определено в воздушно-сухой пробе минерала из двух навесок (1.68 и 1.85 мг) методом Дюма-Прегля с хроматографическим окончанием на CNH-анализаторе Carlo Erba 1106. Навески сжигались в оловянных капсулах (T вспышки ~ 1800 °C). Среднее содержание воды в кокониноните по двум анализам этим методом составило 22.4 мас.%. Прямое определение $\text{H}_2\text{O}(+)$ и $\text{H}_2\text{O}(-)$ оказалось малореальным из-за устойчивой динамики изменения массы навески при изменении температуры от комнатной и вплоть до 300 °C (Young et al., 1966). Поэтому расчет формулы проводился на фиксированное количество $24\text{O} + 2\text{OH}$, а количество молекулярной H_2O

далее рассчитывалось по разнице между содержанием воды общим и связанным с гидроксил-анионом. Расчетное количество молекулярной воды в минерале (табл. 1) варьирует для разных образцов от 18.6 до 20 молекул H_2O . Для локальных микрозондовых анализов наблюдаются завышенные суммы, возможно, связанные с особенностями поведения минерала в вакууме: на частичное обезвоживание минерала при анализе указывает Л.Н. Белова с соавторами (1993).

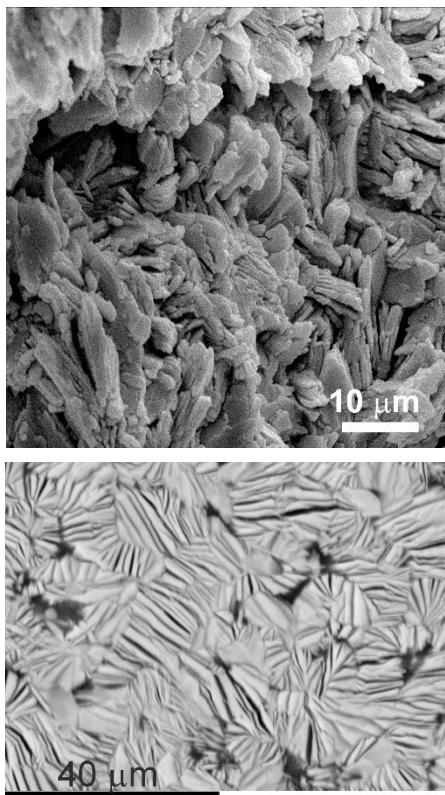


Рис. 4. а – тонкокристаллический агрегат кокониноита, режим SEM; б – полированный препарат коконинита, режим BSE.

В химическом составе кокониноита обращают на себя внимание вариации в содержаниях алюминия (Al_2O_3 5.4–7.3 мас.%) и железа (Fe_2O_3 9.9–12.7 мас.%), между которыми наблюдается обратная корреляция (табл. 2, рис. 5). Из месторождения Косчека (Узбекистан) известен практически безжелезистый минерал, близкий кокониноиту, содержащий 13.78 мас.% Al_2O_3 (Белова и др., 1993), что позволяет «...рассматривать кокониноиты как ряд минералов с широко проявленным изоморфизмом алюминия и железа, менее хрома» (в кокониноите из Кызылкумов установлено до 1.86 мас.% Cr_2O_3) (Белова и др., 1993; Дойникова, Сидоренко, 2006). К сожалению, мы не нашли аналитических данных для Al-аналога кокониноита из La Creusaz (Швейцария) (Meisser et al., 2010). По всей видимости, название «кокониноит» может объединять два различных минерала – Al- и Fe- доминантные члены.

Таблица 1. Химический состав (мас.%) кокониноита из месторождения Зор-Ярчи-Чак (В. Памир, Таджикистан) (1, 2), Blackwater, Аризона (3); Jomac Mine, Юта (4) (США); Косчека (Ауминзатай, Узбекистан) (5) и теоретический состав (6)

	1	2	3	4	5	6
Al_2O_3	6.86	6.95	6.5	6.6	13.78	6.47
Fe_2O_3	10.99	11.13	10.3	9.7	H	10.13
UO_3	38.61	39.09	34.2	34.9	38.73	36.30
CaO	0.52	–	<0.1	0.1	H	–
P_2O_5	18.13	18.35	17.7	18.3	19.52	18.01
SO_3	4.58	4.64	6.1	5.4	4.96	5.08
CO_2	0.77	–	0.7	<0.1	H	–
$\text{H}_2\text{O}_{\text{общ}}$	22.4	22.7	23.4	24.0	23.97	–
Сумма	102.86	102.86	98.9	99.5	100.96	100.00
Расчет на $(24\text{O} + 20\text{H})$ ф.е.						
Al^{3+}	2.02	2.07	1.96	2.03	4.01	2.00
Fe^{3+}	2.06	2.12	1.98	1.90	0.00	2.00
Ca^{2+}	0.14	0.00	0.03	0.03	0.00	0.00
U^{2+}	2.02	2.08	1.84	1.91	2.01	2.00
P^{5+}	3.83	3.93	3.83	4.04	4.08	4.00
S^{6+}	0.86	0.88	1.17	1.06	0.92	1.00
C^{4+}	0.26	0.00	0.24	0.04	0.00	0.00
$(\text{OH})^-$	2.00	2.00	2.00	2.00	2.00	2.00
* H_2O	17.64	18.16	18.94	19.87	18.74	20.00

Примечание. 1 – среднее по 24 электронно-зондовым анализам (кроме CO_2 и $\text{H}_2\text{O}_{\text{общ}}$), CO_2 и $\text{H}_2\text{O}_{\text{общ}}$ – среднее по двум CHN-анализам; 2 – тот же анализ за вычетом CaCO_3 ; 3, 4 – мокрая химия, аналитик R. Meyrowitz (Young et al., 1966), CO_2 и $\text{H}_2\text{O}_{\text{общ}}$ – CHN-анализ; (3 – Blackwater No. 4 Mine, Аризона, США; 4 – Jomac Mine, Юта, США); 5 – мокрая химия, аналитик Г.В. Любомилова (Белова и др., 1993), H – данные у авторов не приведены; 6 – расчетные значения для $\text{Fe}_2\text{Al}_2(\text{UO}_2)_2(\text{PO}_4)_4(\text{SO}_4)(\text{OH})_2 \cdot 20\text{H}_2\text{O}$. Прочерк означает, что содержание компонента ниже предела обнаружения.

* H_2O молекулярная расчетная.

Таблица 2. Выборка локальных электронно-зондовых анализов кокониноита из Зор-Ярчи-Чака (мас.%)

	1	2	3	4	5	6
Al_2O_3	5.44	5.82	6.12	7.00	7.17	7.70
Fe_2O_3	12.71	11.81	11.96	10.21	9.88	9.77
UO_3	37.38	38.06	38.46	39.82	38.43	38.31
CaO	0.87	0.77	0.67	0.53	0.00	0.63
P_2O_5	18.27	17.47	18.63	17.91	17.91	18.49
SO_3	4.22	4.37	3.90	4.03	4.86	4.40
Сумма	78.89	78.30	79.74	79.50	78.25	79.30
Расчет на сумму катионов $\Sigma = 11$ ф.е.						
Al^{3+}	1.63	1.77	1.82	2.11	2.17	2.26
Fe^{3+}	2.42	2.29	2.26	1.96	1.91	1.83
Ca^{2+}	0.24	0.21	0.18	0.15	0.00	0.17
U^{2+}	1.99	2.06	2.03	2.14	2.08	2.01
P^{5+}	3.92	3.97	3.97	3.87	3.90	3.90
S^{6+}	0.80	0.85	0.74	0.77	0.94	0.82

В агрегатах кокониноита с В. Памира в заметных количествах присутствует кальций (по данным микрозондовых анализов содержание CaO до 0.92 мас.%), кроме того, методом CHN-анализа установлено небольшое содержание углерода

(CO_2 0.77 мас.%). Несмотря на то что для кокониноита не определена структура, из общих кристаллохимических соображений сложно разместить такое количество Ca в позициях Fe и Al, а карбонатные группировки – в позициях $(\text{PO}_4)^{3-}$ и $(\text{SO}_4)^{2-}$. Это дает основания предположить, что присутствие в анализах кальция и углерода связано с примесью (например, по границам зерен) карбоната кальция. (Чтобы связать весь углерод, определенный на CHN-анализаторе, в кальцит, арагонит или фатерит, требуется 0.98 мас.% CaO.) Это предположение подтверждается также и результатами ИК-спектроскопии. В итоге, после вычитания CaO и CO_2 , эмпирическая формула минерала выглядит следующим образом: $\text{Fe}_{2.07}\text{Al}_{2.12}\text{U}^{+6}_{2.08}\text{P}_{3.93}\text{S}_{0.88}\text{O}_{24}(\text{OH})_2 \cdot 18.16\text{H}_2\text{O}$ (расчет на $24\text{O} + 2\text{OH}$) (табл. 1).

ИК-спектроскопическое изучение кокониноита проведено на спектрометре Specord 75-IR. Препараты готовились методом прессования таблеток с вакуумированием из смеси минерала с просушенным KBr. Обработка спектров проводилась в программе Omnic. Наряду со спектром кокониноита с Памира был получен спектр кокониноита с одного из мест первого описания – Jomac Mine, шт. Юта, США (образец № 86585 из систематической коллекции Минералогического музея им. А.Е. Ферсмана). Полученные ИК-спектры показаны на рис. 6. Здесь же для сравнения приведен ИК-спектр высокоалюминиевого кокониноита (Chukanov, 2014). Перечень полос поглощения в ИК-спектрах минерала приведен в табл. 3, в которой наряду с нашими данными для кокониноита с Памира и штата Юта, Jomac Mine, приведены результаты, полученные Р. Фростом с соавторами (Frost et al., 2011). ИК-спектр кокониноита из Зор-Ярчи-Чака отличается менее разрешенными полосами поглощения в

диапазоне 900–1200 cm^{-1} , однако в целом положение полос и осложняющих их плеч соответствует таким для кокониноита из Jomac Mine. Отличительной особенностью является присутствие в спектре из Зор-Ярчи-Чака слабой полосы в диапазоне 1410–1460 cm^{-1} , соответствующей вибрационным колебаниям карбонатной группировки, что не противоречит предположению о присутствии примеси CaCO_3 в агрегате кокониноита. Эта же полоса обнаружена и в образце кокониноита из Jomac Mine и также может принадлежать карбонату кальция, что согласуется с присутствием в анализах минерала (табл. 1) небольших содержаний CaO (0.1 мас.%) и CO_2 (< 0.1 мас.%).

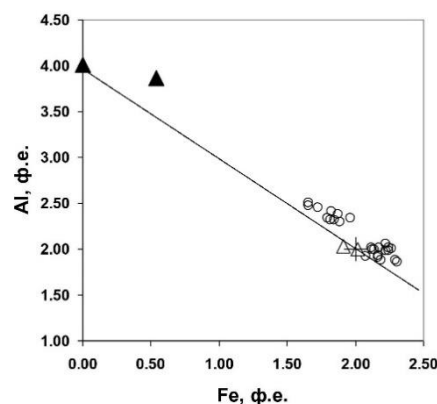


Рис. 5. График корреляционной зависимости Al и Fe в кокониноите (расчет формулы на 11 катионов). ○ Зор-Ярчи-Чак, наши данные; △ Jomac Mine, Юта (Young et al., 1966); ▲ Косчека, Узбекистан (Белова и др., 1993); + теоретический состав Al = 2.0, Fe = 2.0 ф.е.

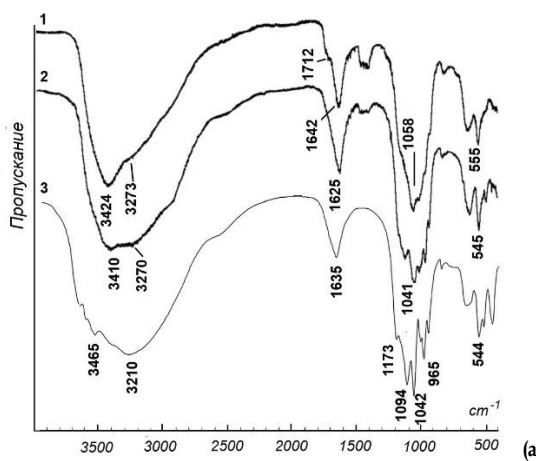
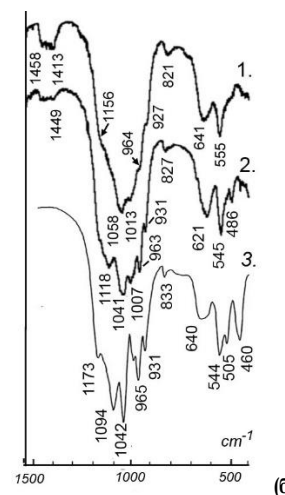


Рис. 6. ИК-спектры кокониноита: а – обзорный спектр, б – детализация в диапазоне 400–1500 cm^{-1} . 1 – Зор-Ярчи-Чак, В. Памир (наши данные), 2 – Jomac Mine, Юта, США (наши данные), 3 – Косчека, Узбекистан (Chukanov, 2014).



Рентгеновская порошковограмма кокониноита была получена на дифрактометре ДРОН-3 (CuK α -излучение, Ni-фильтр) и близка к порошковым данным для кокониноита из других мест находок (табл. 4). Параметры моноклинной ячейки, рассчитанные по порошковограмме методом наименьших квадратов, несколько отличаются от таковых кокониноита из шт. Юта и Центральных Кызылкумов, в первую очередь по параметру c (табл. 5), что может быть связано с вариацией содержания молекулярной воды в минерале. Так, А.Н. Белова с соавторами (1993) отмечают, что наиболее сильно обезвоживание минерала в вакууме оказывается именно на параметре c , который по результатам расшифровки

электронограммы понизился с 23.08 до 17.22 Å для частично обезвоженного минерала.

В заключение отметим, что настоящая работа является, по всей вероятности, вторым описанием находки кокониноита, т.е минерала, наиболее близкого по соотношению Fe/Al к образцам с мест первоначального описания. Наличие вариаций по содержаниям Fe и Al, а также гидроксильной и кристаллизационной воды требует уточнения формулы минерала.

Изученный образец кокониноита передан в Минералогический музей им. А.Е. Ферсмана РАН и включен в систематическую коллекцию основного фонда музея под номером 96907.

Таблица 3. Основные полосы поглощения (cm^{-1}) в ИК-спектрах кокониноита из Зор-Ярчи-Чака (1), Jomac Mine, Юта, (2, 3); Косчека (4)

1	2	3	4	Интерпретация
420(?)	446, 486	Не указаны	436, 505	$(\text{FeO})^0 \nu_3$ вибрационные колебания
555	545	578	544	$(\text{PO}_4)^3- \nu_4$ деформационные колебания
		608 sh, 615, 625, 635 sh	610 sh	$(\text{SO}_4)^2- \nu_4$ деформационные колебания
641	640 sh	647 sh	640	$(\text{AlO}_6)^0 \nu_3$ вибрационные колебания
821	827	783, 832	730 w, 833 w	$(\text{UO}_2)^{2+} \nu_1$ симметричные валентные колебания
927	931	929	931	$(\text{UO}_2)^{2+} \nu_1$ асимметричные валентные колебания
964	963	959, 981 sh	965, 989	$\text{PO}_4 \nu_1$ симметричные валентные колебания
1013	1007	1002		$\text{SO}_4 \nu_1$ симметричные валентные колебания
1058, 1100 sh, 1156 sh	1041, 1118, 1168	1043, 1071 sh, 1112 sh, 1142 sh, 1173	1042, 1094, 1140 sh, 1173,	трижды вырожденные ν_3 асимметричные валентные колебания $(\text{PO}_4)^3-$ и $(\text{SO}_4)^2-$
1413, 1458	1449			$\text{CO}_3 \nu_3$ вибрационные колебания
	1565	1573		$\delta\text{-Me}^{3+}-\text{(OH)}$ деформационные колебания
1642, 1712	1625	1636, 1700	1635, 1670 sh	$\delta\text{-H}_2\text{O}$ деформационные колебания
3269, 3424	3273, 3410	3182, 3393	3210, 3340 sh, 3465	H-O-H валентные колебания
		3514, 3572	3530, 3580	валентные колебания OH-групп со слабыми водородными связями

Примечание. 1, 2 – наши данные; 3 – Frost et al., 2011; 4 – $(\text{Al}_{3.41}\text{Fe}_{0.38})(\text{UO}_2)_{2.12}(\text{PO}_4)_{4.17}(\text{SO}_4)_{0.83}(\text{OH})_x \cdot n\text{H}_2\text{O}$ (Chukanov, 2014); sh – плечо, w – широкая полоса.

Таблица 4. Межплоскостные расстояния кокониноита

Зор-Ярчи-Чак (наши данные)*	Jomac Mine, Юта (Young et al., 1966)	горы Ауминзатау **, (Белова и др., 1993)	hkl		
d/n, Å	I/I ₀	d/n, Å	I/I ₀	d/n, Å	I/I ₀
11.10	100	11.12	100	11.02	100
8.98	20	9.20	3	8.94	5
		8.66	8	8.75	5
		8.40	3	7.85	0
7.68	2	7.66	8	7.55	< 10ш
		7.28	3	6.50	0
		6.24	2	6.26	< 5
				6.16	< 5
5.97	2	5.91	3	5.96	< 10
5.89	3	5.91	3	5.86	10
5.66	8	5.64	18		200

5.55	31	5.56	42	5.512	35	004
5.012	3	5.02	9	4.935	10	023
				4.820	< 5	204
4.562	7	4.59	14	4.521	11	221
4.458	7	4.50	3	4.410	< 10	220
4.306	2	4.31	10	4.256	10	114
		4.21	2			
4.166	2	4.17	4	4.120	< 5	221
4.040	5	4.05	7	4.060	5	131
						130
		3.97	3	3.994	10	312
3.931	3			3.930	10	131
3.885	3	3.91	6	3.860	10	224
3.838	2	3.82	5			132
3.758	5	3.77	7	3.780	< 10	310
		3.71	12	3.720	10	133
3.698	12			3.687	15	006
3.645	3			3.580	5	204
		3.46	2	3.440	< 5	223
3.394	2	3.39	5	3.368	10	315
3.290	7	3.30	22	3.336	23	312
3.232	2	3.26	?	3.251	14	040
3.173	3	3.18	6	3.140	10	224
3.106	2	3.12	3w			
3.045	2	3.04		3.070	5	313
3.027	4	3.00	5	3.010	10	401
2.998	3			2.996	0	400
2.948	2			2.977	< 10	043
2.923	2			2.910	< 5	405
2.872	2					
2.852	3					
2.836	4	2.840	7	2.842	< 10	240
		2.800	4	2.806	10	422
2.784	2			2.769	< 10	044
2.773	4					
2.751	2			2.758	< 10	008
				2.720	< 5	420
2.663	2	2.670	7	2.642	5	242
2.484	2	2.560	3			

*ДРОН-2.0, СуКα-излучение, Н-фильтр.

** В работе не указывается, для материала с какого именно объекта получена порошкограмма.

Таблица 5. Параметры элементарной ячейки коконинита из Зор-Ярчи-Чака (1) Jomac Mine, Юта, (2) Кызылкумов (3, 4)

Наши данные		Белюва и др., 1993	
	1	2	3
<i>a</i> , Å	12.45(1)	12.50	12.47
<i>b</i> , Å	12.87(1)	12.97	12.96
<i>c</i> , Å	22.75(1)	23.00(3)	23.08
β , °	105.66(4)	106.6	106.76
			105.7

Примечание. 1-3 - уточнение по порошкограмме, обычные условия; 4 - расчет по электронограмме в вакууме.

Благодарности

Авторы благодарят П.В. Хворова за помощь, оказанную при сборе материала, Ф.К. Рахими – за помощь в организации полевых работ и проведении исследований.

Авторы также благодарят рецензентов С.Н. Бритвина и Д.И. Белаковского за ценные замечания по статье.

Список литературы:

- Аверьянов Г.С., Рахимов Р.М. Ураноносность Памира и Дарваза (отчет по теме «Радиоактивность пород Памира»). 1964. Душанбе.
- Белова Л.Н., Горишков А.И., Доиникова О.А., Можов А.В., Трубкин Н.В., Сивцов А.В. Новые данные о кокониноите // Докл. АН СССР. 1993. Т. 329(6). С. 772–775.
- Доиникова О.А., Сидоренко Г.А. Кокониноит и родственные алюмо-уранил-фосфаты // Новые данные о минералах. 2006. В. 41. С. 108–118.
- Новые данные о минералах Узбекистана (коллектив авторов). Ташкент: Фан, 1989. 316 с.
- Chukanov N.V. Infrared spectra of mineral species. Extended library. Dordrecht: Springer Science+Business Media. 2014. 1726 p.
- Frost R.L., Palmer S.J., Cejka J. The application of Raman spectroscopy to the study of the uranyl mineral coconinoite $\text{Fe}_2\text{Al}_2(\text{UO}_2)_2(\text{PO}_4)_4(\text{SO}_4)(\text{OH})_2 \cdot 20\text{H}_2\text{O}$ // Spectroscopy letters. 2011. 44(6). P. 381–387.
- Hunan 230 Institute and X-ray Laboratory, Wuhan Geologic College. Xiangjiangite – a new uranium mineral discovered in China // Sci. Geol. Sinica. 1978. V. 2. P. 183–188 (на кит. яз. с англ. реф.).
- Lecca G., Ciriotti M.E., Blass G., Callegari A.M., Boiocchi M. Primo ritrovamento europeo di coconinoite (con noticella sul primo ritrovamento regionale di bottinoite) // Micro. 2011. Vol. 9. P. 73–79.
- Meisser N., Brugger J., Ansermet S., Thélin P., Bussy F. Françoisite-(Ce), a new mineral species from La Creusaz uranium deposit (Valais, Switzerland) and from Radium Ridge (Flinders Ranges, South Australia): Description and genesis // Amer. Mineral. 2010. Vol. 95. P. 1527–1532.
- Young, E.J., Weeks A.D., Meyrowitz R. Coconinoite, a new uranium mineral from Utah and Arizona // Amer. Mineral. 1966. Vol. 51. P. 651–663.